

УДК 541.183.2

ФИЗИЧЕСКАЯ ХИМИЯ

Ю. И. ТАРАСЕВИЧ, О. А. ОРАЗМУРАДОВ, академик АН УССР Ф. Д. ОВЧАРЕНКО  
К ТЕРМОХИМИЧЕСКОМУ ИССЛЕДОВАНИЮ АДСОРБЦИИ ВОДЫ  
МОНТМОРИЛЛОНИТОМ

В настоящей работе при помощи адиабатического калориметра и дифрактометра УРС-50ИМ изучено изменение теплоты смачивания  $Q$  и межплоскостного расстояния  $d_{001}$  для Na-, Ba и Ca-форм пыжевского монтмориллонита в зависимости от влажности  $a$ . С целью расчета дифференциальных термодинамических функций адсорбции параллельно микровесовым методом были измерены изотермы адсорбции паров воды. Полученные результаты приведены на рис. 1—3 и в табл. 1.

Изотермы адсорбции (рис. 1) и кривые изменения теплоты смачивания (рис. 2) для всех исследуемых образцов имеют волнобразный характер. Сопоставление адсорбционных и термохимических данных с приведенными в таблице и опубликованными<sup>(1)</sup> результатами рентгенографического анализа позволяет утверждать, что две волны на изотерме адсорбции и зависимости  $Q = f(a)$  для Na-монтмориллонита связаны с последовательным внедрением первого и второго молекулярных слоев воды в его межпакетное пространство. Рассчитанные по методу<sup>(2)</sup> кривые изменения дифференциальной теплоты  $\bar{Q}_a = f(a)$  и энтропии  $\partial \Delta S / \partial a = f(a)$  адсорбции (рис. 3) еще более четко отражают отдельные стадии гидратации Na-образца. Довольно высокая начальная теплота обязана взаимодействию первых молекул адсорбированной воды с наиболее активными участками внешней

Таблица 1

Изменение межплоскостного расстояния  $d_{001}$ , Å для Na-, Ba- и Ca-монтмориллонитов в зависимости от количества адсорбированной воды  $a$ , ммоль/г

$a$	Na <sup>+</sup>		Ba <sup>2+</sup>		Ca <sup>2+</sup>	
	$d_{001}$	$a$	$d_{001}$	$a$	$d_{001}$	$a$
0	10,0	0	10,7	0	10,2	
0,16	10,0	0,8	12,2	1,57	12,4	
0,34	10,0	1,7	12,2	8,9	14,5	
5,51	12,6	6,1	13,4	9,8	15,1	
6,64	12,9	6,9	13,6	13,1	15,6	
12,96	15,6	13,8	15,6	14,6	16,5	
13,41	15,6	15,1	17,6	23,1	18,9	
15,12	16,5					
24,50	18,9					

поверхности. В результате насыщения последней происходит быстрое падение дифференциальной теплоты. Два максимума на графиках  $\bar{Q}_a = f(a)$  и  $\partial \Delta S / \partial a = f(a)$  соответствуют волнам на изотерме и кривой  $Q = f(a)$  и связаны с адсорбцией первого и второго слоев в межпакетном пространстве Na-образца<sup>(3, 4)</sup>. Минимумы в области 1,5 и 4—8 ммоль/г (рис. 3) в значительной мере обусловлены затратой энергии на расширение решетки минерала при адсорбции<sup>(4, 5)</sup>.

На изотерме адсорбции и графике изменения теплоты смачивания с влажностью для Ca-монтмориллонита в области 4—6 ммоль/г обнаруживает-

ся перегиб, отвечающий переходу от однослойной ( $d_{001} \approx 12,4 \text{ \AA}$ ) к двухслойной ( $d_{001} = 14,5 \div 15,1 \text{ \AA}$ ) молекулярной структуре внедрения. В процессе адсорбции второго слоя происходит отрыв обменных катионов  $\text{Ca}^{2+}$  от поверхностных атомов кислорода решетки и развитие вокруг них полных гидратационных сфер. Такая перестройка межслоевой области сопровождается дополнительным выделением теплоты, которое и фиксируется на кривой  $Q_a = f(a)$  в виде отчетливого максимума при 5,5 ммол/г (рис. 3). Второй пик на этом графике мы, как и ранее (4), связываем с началом перехода от двухслойной к четырехслойной адсорбции в межслоевом пространстве Са-монтмориллонита.

Кривые изменения дифференциальной теплоты и энтропии адсорбции для Ва-формы минерала, рассчитанные на основании калориметрических и адсорбционных данных (рис. 3), а также исходя из изотерм, снятых при различных температурах (4), характеризуются двумя максимумами в области 4 и 10 ммол/г. Сопоставление приведенных на рис. 1—3 и в табл. 1 результатов показывает, что повышение дифференциальной теплоты адсорбции при 9—10 ммол/г является следствием внедрения второго слоя воды в межпакетное пространство этого образца. При обсуждении причин появления резкого перегиба на кривой  $Q = f(a)$  и максимумов на графиках  $Q_a = f(a)$  и  $\partial \Delta S / \partial a = f(a)$  для Ва-монтмориллонита в интервале 3—6 ммол/г необходимо обратить внимание на то, что в этой области, по данным рентгеновского анализа (табл. 1), происходит некоторое увеличение межплоскостного расстояния  $d_{001}$  с 12,2 до 13,4 Å. Тщательные рентгенографические исследования Са-монтмориллонита также показали увеличение параметра  $c$  решетки минерала ( $c = d_{001}$ ) с 11,9 до 12,5 Å при относительных давлениях 0,08—0,11. Это связывается авторами (1) с выходом  $\text{Ca}^{2+}$ -ионов из гексагональных пустот структуры и началом их гидратации. По аналогии наблюдающееся для Ва-образца в области 3—6 ммол/г увеличение межплоскостного расстояния и изменение в ходе кривой  $Q = f(a)$  вполне естественно объяснить перестройкой струк-

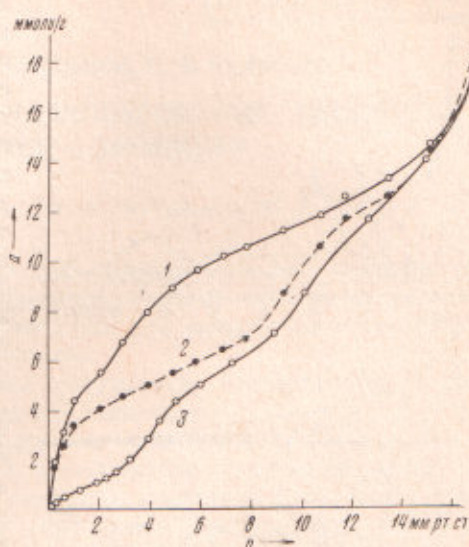


Рис. 1. Изотермы адсорбции паров воды при 20° Са- (1), Ва- (2) и Нa-монтмориллонитами (3) в функции абсолютного давления пара  $p$ . Температура вакуумирования образцов 110°

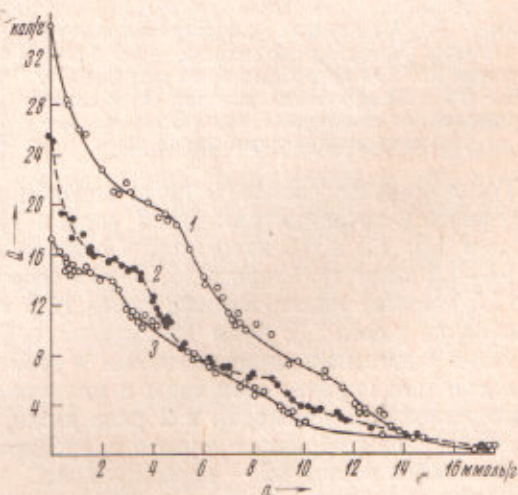


Рис. 2. Зависимость теплоты смачивания Са- (1), Ва- (2) и Нa-монтмориллонита (3) от влажности

10\* 883

туры межслоевой области и связыванием обменными  $\text{Ba}^{2+}$ -катионами дополнительных молекул воды. На графике  $\bar{Q}_a = f(a)$  это проявляется в виде отчетливого пика при 4 ммоль/г (рис. 3). Интересно отметить, что Баршад<sup>(6)</sup> наличие минимумов и следующих за ними максимумов на кривых изменения дифференциальных термодинамических функций при адсорбции воды монтмориллонитом связывал не с расширением решетки минерала и поглощением новых молекулярных слоев воды, а именно с перестройкой структуры внедрения и гидратацией обменных катионов. Наши же экспериментальные данные показывают, что при объяснении изменений термодинамических функций адсорбции необходимо учитывать и то и другое обстоятельство.

Одним из преимуществ изучения термодинамики адсорбции с помощью метода теплот смачивания по сравнению с прямым калориметрическим измерением дифференциальной теплоты адсорбции является возможность довольно точно определения интегральной теплоты, выделяющейся при адсорбции первого и последующих слоев воды. Из анализа изотерм, кривых  $Q = f(a)$ ,  $\bar{Q}_a = f(a)$  и  $\partial\Delta S/\partial a = f(a)$  следует, что для Na-монтмориллонита переход от адсорбции на внешней поверхности к межслоевой сорбции и от однослоиной к двухслойной структуре внедрения происходит соответственно при влажности 2 и 8 ммоль/г.

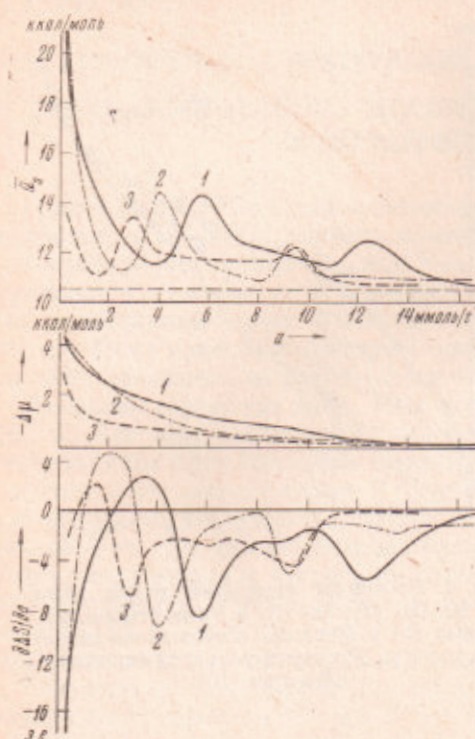


Рис. 3. Изменение дифференциальных теплоты  $\bar{Q}_a$ , свободной энергии —  $\Delta\mu$  и энтропии  $\partial\Delta S/\partial a$  адсорбции воды для Са- (1), Ва- (2) и Na-монтмориллонитов (3) в зависимости от величины адсорбции  $a$ .  $L$  — теплота конденсации паров воды

Тогда средняя чистая теплота адсорбции воды на внешней поверхности, первого и последующих слоев воды в межпакетном пространстве составляет 1,5; 1,5 и 0,6 ккал/моль. Средняя чистая теплота адсорбции первого (0—4,5 ммоль/г), второго (4,5—11,0 ммоль/г), третьего и четвертого (11,0—17,5 ммоль/г) молекулярных слоев  $\text{H}_2\text{O}$  в межпакетном пространстве Са-образца равна 3,3; 2,0 и 0,9 ккал/моль. Сопоставление полученных результатов с данными, приведенными в работах<sup>(5, 7)</sup>, показывает, что теплота адсорбции первого слоя воды в межпакетном пространстве Na- и Са-монтмориллонитов примерно в 2 раза ниже, чем в межпакетном пространстве аналогичных образцов другого представителя слоистых силикатов с расширяющейся решеткой — вермикулита.

Институт коллоидной химии и химии воды  
Академии наук УССР  
Киев

Поступило  
6 VII 1970

#### ЦИТИРОВАННАЯ ЛИТЕРАТУРА

- <sup>1</sup> G. L. Roderick, D. Senich, T. Demirel, Proc. Intern. Clay Conf., Tokyo, 1969, 1, Jerusalem, 1969, p. 659. <sup>2</sup> Ю. И. Тарасевич, В. Е. Поляков и др., Укр. хим. журн., 35, 503 (1969). <sup>3</sup> Д. Чессик, А. Цетлмайер, Сборн. Катализ. Вопросы избирательности и стереоспецифичности катализаторов, Ил., 1963, стр. 293.
- <sup>4</sup> Ю. И. Тарасевич, Ф. Д. Овчаренко, Укр. хим. журн., 33, 165 (1967).
- <sup>5</sup> Ю. И. Тарасевич, А. О. Оразмуратов и др., ДАН, 189, № 4, 119 (1969).
- <sup>6</sup> I. Barshad, Clays and Clay Minerals, Proc. VIII Nat. Conf., N. Y., 1960, p. 102.
- <sup>7</sup> H. van Olphen, J. Coll. Sci., 20, 822 (1965).